

زمین‌شناسی، دگرسانی و کانی‌زایی گرمابی در منطقه ریحال، زون فلز‌زایی ارسباران، شرق اهر (استان آذربایجان شرقی)

سید غفور علوی^۱، حسین ناصری^۲، خامد علیخان نژاد^۳

استادیار، گروه علوم زمین، دانشکده علوم طبیعی، دانشگاه تبریز، تبریز، ایران Ghafour-alavi@tabrizu.ac.ir

دانشجوی دکترا، گروه علوم زمین، دانشکده علوم طبیعی، دانشگاه تبریز، تبریز، ایران Hossein.naseri@tabrizu.ac.ir

کارشناسی ارشد، گروه علوم زمین، دانشکده علوم طبیعی، دانشگاه تبریز، تبریز، ایران Hamed-Alikhanneghdi@tabrizu.ac.ir

چکیده

کانی‌سازی ریحال به عنوان بخشی از زون فلز‌زایی ارسباران در حدود 22 کیلومتری شرق شهرستان اهر، استان آذربایجان شرقی واقع شده است. واحدهای سنگی رخمنون یافته در مناطق مورد مطالعه شامل سنگهای آذرین بیرونی آندزیت و آندزیت بازالت، دایک‌های خدوسط و آبرقت‌های کواترنری است. واحدهای سنگی این مناطق از نظر سنی از اتوسن بالایی تا کواترنری می‌باشند. زون‌های دگرسانی رخمنون یافته در این مناطق به‌طور عمده شامل سیلیسی، آرزدیلک و قیلیک همراه با زون سیلیسی—برشتی می‌باشند. مطالعه کانی‌شناسی زون‌های دگرسان نشان می‌دهد که کوارتز، اپلیت، کاتولینیت، سریست و کلریت مهمترین کانی‌های درونزد و لیمونیت، گوتیت، هماتیت، مالاکیت و آزویت کانی‌های باززیروزد در این مناطق هستند. کانی‌زایی در این مناطق به صورت رگه-رگچه‌ای در داخل شکنگی‌ها و زون‌های گسلی صورت گرفته است. بر طبق مطالعات صورت گرفته کانی‌زایی هیپوزن شامل پیریت، کالکوپیریت، بورنیت، تترادریت، و کانی‌های سوپرزن شامل کولولیت، کالکو سیت و اکسیدها و هیدرواکسیدهای آهن می‌باشد. رخداد کانی‌زایی احتمالی طلامی توالدر مرحله اصلی کانی‌زایی در داخل رگه-رگچه‌های سیلیسی-سولفیدی و احتمالاً در ارتباط با کانی‌های پیریت و کالکوپیریت تشکیل شده باشد. یافته‌های حاصل حاکی از آن است که این کانی‌زایی در منطقه مورد مطالعه از نوع اپی‌ترمال سولفیداسیون پایین می‌باشد.

کلیدواژه‌ها: دگرسانی گرمابی، کانی‌زایی گرمابی، توالی پاراژنزی، محدوده ریحال.

Abstract

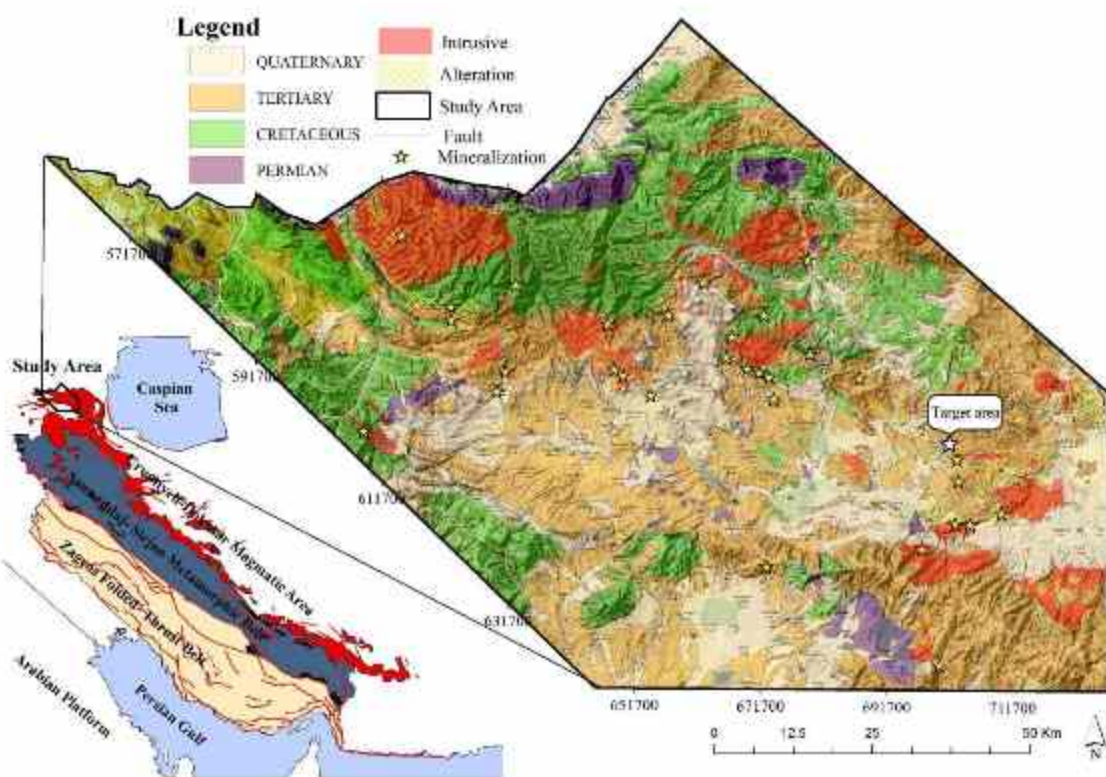
Rihal Mining is located in the Arasbaran metallurgical zone, about 22 km east of Ahar city, East Azarbaijan province. The outcrop rock units in the studied areas include andesite and andesite basalt igneous rocks, intermediate dykes, and Quaternary alluviums. The rock units of these areas range in age from Upper Eocene to Quaternary. Alteration zones exposed in these areas mainly include siliceous, argillic, and phyllitic along with a siliceous-shear zone. The mineralogical study of Degarsan zones shows that quartz, illite, kaolinite, sericite, and chlorite are the most important endogenous minerals, whereas limonite, goethite, hematite, malachite, and azurite are prominent exogenous minerals in these areas. Mineralization in these areas has taken place in the form of veins within fractures and fault zones. According to the studies, hypogene mineralization includes pyrite, chalcopyrite, bornite, tetrahedrite, and supergene mineralization includes covellite, chalcocite, and iron oxides and hydroxides. The possible occurrence of gold mineralization can be formed in the main stage of mineralization inside siliceous-sulphide veins and probably in connection with pyrite and chalcopyrite minerals. The findings indicate that this mineralization in the studied area is of the low sulphidation epithermal type.

Key words: Hydrothermal alteration, hydrothermal mineralization, paragenetic sequence, Rihal area.



مقدمه

مطالعاتی که در چند سال اخیر توسط سازمان زمین‌شناسی و اکتشافات معدنی کشور و همچنین پژوهشگران دانشگاهی در زون فلزیابی ارسباران صورت گرفته است، سبب تنشایی رخدادهای گوناگونی از کانه‌زایی در این ناحیه شده است. از جمله این کانه‌زایی‌ها می‌توان به کانه‌زایی‌ای ترمال طلای زایلیک-ساریلار، محدوده کانه‌زایی یوسفلو-صفی‌خانلو-نوقدوز، کلسارهای اسکارن و پورفیری مزرعه، انجرد و گودال اشاره کرد. مطالعات نسبتاً جامعی بر روی کانه‌سازی‌های متنوع موجود در این زون از جمله کانه‌ساز مس-مولبیدن پورفیری سونگون و اسکارن‌های همراه آن [1]، کانه‌ساز مس-طلای مسجداداغی [2]، مس پورفیری سوناجبل [3]، مس-مولبیدن پورفیری هفت‌چشمۀ [4] [5] و مس مولبیدن کیقال-بارملک [6] انجام داده‌اند، همچنین چندین کانه‌ساز مهم طلای ایپی‌ترمال نظری زایلیک-صفی‌خانلو [7]، ترف‌آباد-هیزه‌جان [1] [8] و نیز پژوهش پیش رو بر روی همین زون در ناحیه شرق اهر مورد بررسی قرار گرفته‌اند. کانه‌زایی محدوده ریحال در 22 کیلومتری شرق اهر با مختصات جغرافیایی 701450 UTM تا 702300 خاوری و 425975 تا 426035 شمالی در زون فلزیابی ارسباران واقع شده است (شکل 1)، واحدهای آتشفانی اتوس به عنوان سنگ میزبان این کانه‌زایی محظوظ می‌شوند. این پژوهش به معرفی کانه‌زایی ریحال به عنوان نوع ایپی‌ترمال سولفیداسیون پایین پرداخته است.



شکل 1: موقعیت جغرافیای محدوده ریحال در زون کانه‌زایی ارسباران



زمین‌شناسی

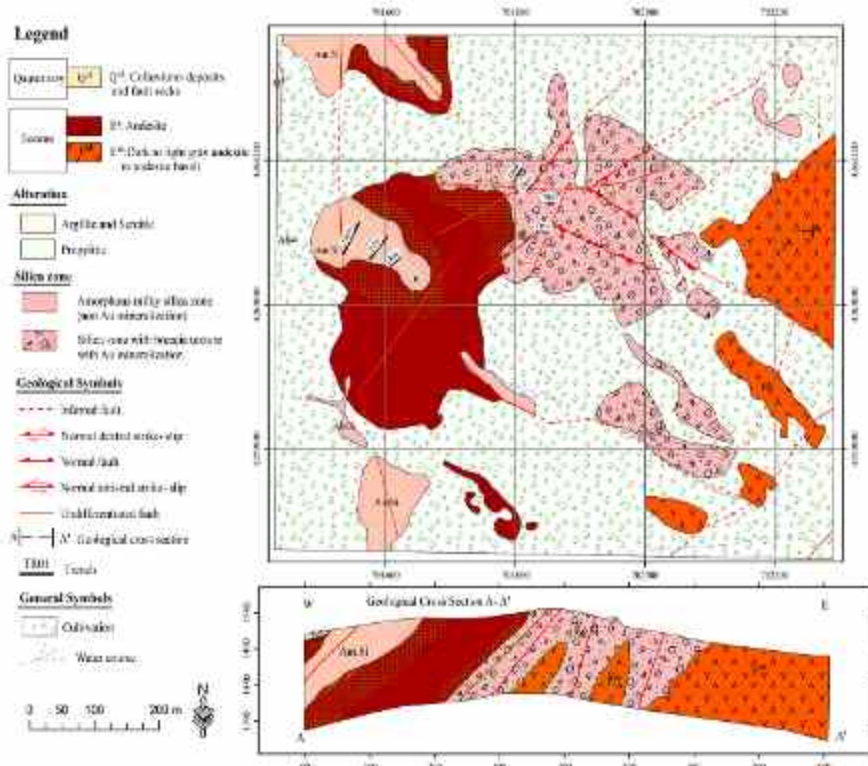
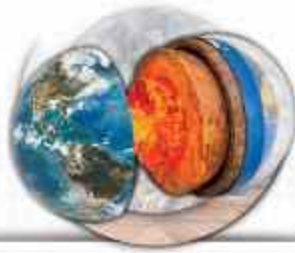
کمریند قلزایی ارسباران، شامل مناطق شمال و غرب مشكین‌شهر، اهر، کلیبر، ورزقان، سیه‌رود، بلندی‌های ارسباران و قره‌داغ می‌باشد. مناطق ترق و جنوب‌ترق اهر از نظر زمین‌شناسی دارای واحدهای سنگ‌تناختی نسبتاً یکسانی می‌باشد. براساس نقشه زمین‌شناسی 1:1000000 اهر [9]. گدازه‌های آندزیتی و آندزیت بازالتی اتوس بخش وسیعی از منطقه را پوشانده‌اند. در منطقه مورد مطالعه ریحال گدازه‌های آتش‌شانی اتوس دارای بیشترین گسترش بوده و مهم‌ترین واحدهای سنگی منطقه را تشکیل می‌دهد و میزبان کانی‌زایی طلائیز همین واحد می‌باشد. زمین‌ریخت‌شناسی خشن این منطقه توسط سه عامل سنتگ‌تناختی، حرکات زمین‌ساختی و فرسایش کنترل می‌شود که از بین سه مورده عامل سنتگ‌تناختی منطقه شامل سنگ‌های آتش‌شانی اسیدی و حدواسط و سنگ پوست‌های سیلیسی شده نقش برازی در تعیین مورفولوژی منطقه ایفا می‌کند. از نظر زمین‌ریخت‌شناسی، این منطقه بخشی از رشته کوه‌های قره‌داغ بشار می‌آید که این رشته کوه‌ها شمالی‌ترین و بزرگ‌ترین واحد از هفت واحد کوه‌ستانی تشکیل‌دهنده آذربایجان هستند. با توجه به نقشه زمین‌شناسی منطقه مورد مطالعه ریحال، مجموعه واحدهای سنگی به شرح زیر است (شکل 2):

واحد آندزیت بازالتی: این واحد شامل گدازه‌های آتش‌شانی با ترکیب غالب و آندزیت تا بازالتی می‌باشد که بخش بزرگی از منطقه را شامل می‌شوند. در بعضی نقاط منطقه دایک‌هایی با ترکیب کالیاپی متابله (آندزیت تا بازالت) با ضخامت حدود 5 متر با امتداد شمالی-جنوبی سنگ میزبان را قطع نموده‌اند. گدازه‌های آتش‌شانی واحد E²⁶ در برگیرنده رگمه‌های سیلیسی کانه‌دار می‌باشد که در این واحد آتش‌شانی نفوذ کرده‌اند. این واحد دگرسانی هیدروترمالی تدید و گسترده‌ای مخصوصاً در محدوده بلاقص رگمه‌های سیلیسی متحمل شده است (شکل 2).

واحد آندزیتی: این واحد به شکل تپه‌های کم ارتفاع با سطوح قرسایش یافته به رنگ خاکستری در منطقه رخمنون یافته است. واحد آندزیتی در قسمت‌هایی از منطقه به صورت مگاپورفیر با پلازموکلارهایی بزرگتر از 5 میلی‌متر دیده می‌شود. واحد آندزیتی میزبان رگه-رگچه‌ی سیلیسی-برتی کانه‌دار می‌باشد در نزدیکی رگه سیلیسی بر اثر دگرسانی سیلیسی و تغییرات بعدی، بافت و مجموعه کانی‌ای اولیه خود را از دست داده است و تنها بر اساس تشخیص کانی‌ها و آثار یافته مربوطه می‌توان سنگ اولیه را تشخیص داد که از نوع ولکانیک با بافت پورفیری و میکروپورفیری و به احتمال، در محدوده ترکیبی آندزیت قرار دارد. اما نمونه‌های نسبتاً سالم سنگ میزبان در قواصل دورتری از رگه سیلیسی یافت می‌شود که دچار دگرسانی پروپیلیتیک ضعیفی شده‌اند و به سریست و کلستیت و کلریت تبدیل شده‌اند.

روش پژوهش

مطالعات صحرایی شامل کنترل واحدهای سنگی موجود در نقشه زمین‌شناسی، نمونه‌برداری از سنگ‌های آذرین میزبان کانی‌زایی، رگه‌رگچه‌های کانی‌زایی شده و بخش‌های دگرسان به صورت منظم و تصادفی و شناسایی گسل‌ها و تکستگی‌ها می‌باشد انجام تد و سپس از نمونه‌های برداشت شده، نمونه‌های مناسب برای مطالعات بعدی انتخاب شد و سپس 20 مقطع نازک و 10 مقطع در کارگاه سنگ‌بری دانشگاه تبریز تهیه شد.



شکل ۲. نقشه زمین‌شناسی محدوده کانی‌زایی ریحال.

نتایج و بحث

دگرسانی:

گل‌ها و تکستگی‌های فراوان در این مناطق مجاوری متابی جهت عبور محلول‌های گرمابی قراهم نموده، در نتیجه در گترش زون‌های دگرسانی نقش قابل ملاحظه‌ای ایفا نموده‌اند. عبور قلوبیده‌ای گرمابی در امتداد این گل‌ها و تکستگی‌ها علاوه بر دگرسانی سنگ‌های مسیر، باعث نه نشینی کانی‌ها و تشکیل رگه‌های سیلیسی نیز شده است. مطالعات نشان می‌دهد که دگرسانی در این مناطق شامل انواع: سیلیسی، آرژیلیک و آرژیلیک می‌باشد (تکل ۳).

دگرسانی سیلیسی

دگرسانی سیلیسی بر اثر اضطراب تدن SiO_2 به سنگ‌ها توسط محلول‌های گرمابی و یا بالارفتن سیلیس به دلیل اتحال مواد دیگر در سنگ تشکیل می‌گردد و با مجموعه کانی‌های کوارتز، سریت و کلدونی مشخص می‌شود [10]. زون سیلیسی یکی از مهم‌ترین زون‌های دگرسان موجود در منطقه می‌باشد و از ابتدای تشکیل سامانه تا انتهای قعالیت آن تأثیرگذار بوده است. سیلیسی تدن به طور عمده چسبیده به رگه‌های کانی‌زایی شده و در مرکز سامانه و درون سنگ‌های آندزیتی اتفاق افتاده و گاماً بشکل عدسی مانند درون دگرسانی آرژیلیک نیز مشاهده می‌گردد و به دلیل مقاومت بالا در برابر فرسایش، در منطقه بشکل کلامک‌های سیلیسی صخره‌ساز عمل کرده است. رنگ این زون از خاکستری تا قهوه‌ای



متغیر است و شامل کانی‌های کوارتز و کلدونی به همراه مقدار کمی کانی‌های رسی می‌باشد. کوارتز به صورت رگجهای در زمینه سنگ، پرکننده قضاها خالی، جاشینی یا نیلور مجدد رخ داده است. کلدونی به شکل ذرات ریزدانه و یا بصورت رگجهای با بافت کلوفرم و تشعاعی دیده می‌شود. سریست و کانی‌های رسی نیز به شکل پراکنده و ریزدانه در زمینه سنگ میزبان و فضای بین ذرات کوارتز و یا به شکل جاشینی به جای کانی‌های اولیه مثل قلدسپار و بیوتیت تشکیل شده‌اند. گاهاً در کلاهک‌های سیلیسی آثار حفره‌ای و تیغه‌های سیلیسی نیز دیده می‌شود که نشان‌گر جوتش سیال گیرمایی هنگام رسیدن به زون‌های سطحی است (شکل ۴-الف).



شکل 3- نمای نزدیک از زون‌های دگرسانی محدوده ریحال

دگرسانی فیلیک

دگرسانی فیلیک در انواع کانسارهای هیدروترمالی متداول است و معمولاً در بازه گسترده‌ای از دما توسط هیدرولیز قلدسپارها به سریست همراه با کوارتز، کلریت و پیریت تشکیل می‌شوند [11]. زون فیلیک در این منطقه گسترنش محدودی دارد و فقط در مجاورت زون سیلیسی در سنگ‌های میزبان آندزی مشاهده می‌شود و به تدریج به زون آرژیلیک تبدیل می‌گردد. مهم‌ترین کانی‌های این زون شامل کوارتز، سریست و مقدار کمی کانی‌های اوپیک بوئزه پیریت می‌باشد. در برخی نقاط تندت دگرسانی به حدی بالا بوده که فقط تبیخ از پلازموکلازها قابل تشخیص است. سریست به شکل پولک‌های ریز و پیریت بصورت بلوهای نیمه تکلدار و پراکنده در متن سنگ بوده و گاهماً در رگجهای دیده می‌شوند. پیریت به دبال آزاد شدن آهن از دگرسانی کانی‌های قرومیزین مانند آمفیبول و بیوتیت در اثر واکنش H_2S سیالات دگرسان کننده تشکیل شده است (شکل 4-ب).

دگرسانی آرژیلیکی

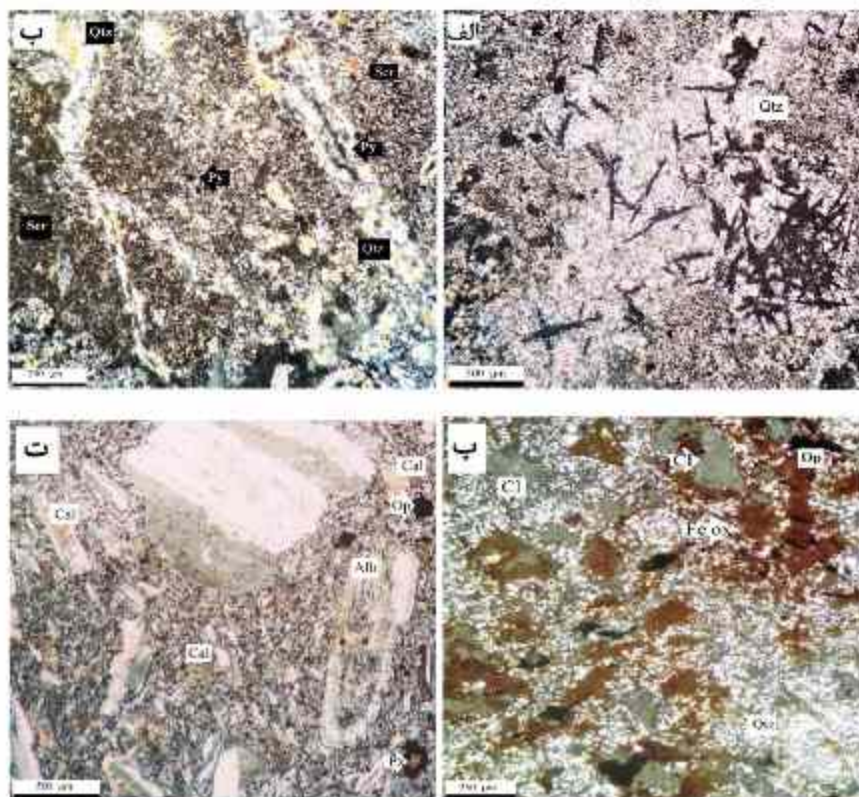
هیدرولیز تبدیل سیلیکات‌های آلومینیومدار سنگ‌ها در محیط اسیدی موجب تشکیل زون آرژیلیک می‌شود. این دگرسانی با حضور کانی‌های رسی از قبیل کاتولینیت، ابلیت، سریست، مونت موریونیت، کلریت، پیروفیلیت و اسمکتیت مشخص می‌شود [12][13]. دگرسانی آرژیلیکی گسترنش زیادی در اطراف رگجهای سیلیسی دارد. وجود اکیدها و هیدروگسیدهای آهن در این زون باعث ایجاد رنگهای قرمز، زرد و نارنجی



شده است. نتایج آنالیزهای XRD نشان می‌دهد که این دگرسانی از نوع آرزیلیک حدوداً سطح بوده (عدم وجود کالی‌های مثل پیروفیلیت و آندالوزیت) و مفهمه‌ترین کالی‌های رسی در این زون شامل ایلیت و به مقدار کمتر کاتولینیت و مونت موریولیت می‌باشد [14]. حضور کالی‌هایی مثل ایلیت، اسماکتیت و کلریت تشان‌دهنده pH خنثی و حضور کالی‌هایی مثل کاتولینیت، دیاسپور و آناتاز تشان‌دهنده pH اسیدی محلول‌های هیدروترمال است [15]. بنابراین به نظر می‌رسد pH محلول‌های هیدروترمال در این منطقه در حد خنثی تا کمی اسیدی بوده است (شکل ۴-ب).

دگرسانی پروپیلیتیک

این دگرسانی خارجی ترین دگرسانی موجود در منطقه می‌باشد که به صورت ضعیف در حاشیه خارجی دایک‌ها و سنج میزان رگمه‌های طلادار قابل مشاهده است. این دگرسانی در ظاهر به رنگ خاکستری مایل به سبز و در مقاطع میکروسکوپی به شکل تبدیل پلازیوکلازها و کالی‌های فرومیزین به کلریت و کلیت قابل مشاهده می‌باشد (شکل ۴-ت).



شکل ۴- تصاویر میکروسکوپی دگرسانی‌ها. (الف) دگرسانی سلیسی با کالی‌های کوارتز (Qtz) (ب) دگرسانی فیلیک یا کالی‌های کوارتز (Qtz)، سریسیت (Ser) و پیسیت (Py). (پ) دگرسانی آرنیلیک با کالی‌های کوارتز (Qtz)، کالی‌های رسی (Cl)، اکسیدهیدروکسیدهای آهن (Fe ox) و کالی‌های تیره (Op). (س) دگرسانی پروپیلیتیک با کالی‌های کلیست (Cal)، کالی‌های تیره (Op)، پیروکسن (Px) و کلریت (Px).



کانی سازی

با توجه به نمونه برداری های صورت گرفته از سه زون سیلیسی- برتری در محدوده مورد مطالعه، کانی زایی سولفیدی در دو رگه و محدود به رگچه های سیلیسی- سولفیدی رگچه های سیلیسی- برتری است. طول متوسط رگه های کانه دار حدود 80 متر و پهنای آن ها در حدود 4 متر است. این رگه ها در زون گلی با میزانی سنگ های آندزیتی تا آندزیت بازالتی با امتداد جنوب شرقی- شمال غربی تشکیل شده اند. کانی زایی طلا در رگه های کانه دار غالباً به صورت رگچه های سولفیدی برتری و پرکننده فضای خالی انفاق افتاده است. مطالعات میکروسکوپی، بافت تنسی و آنالیزها نشان دهنده انتطباق بسیار بالای کانی زایی سولفیدی و سیلیسی- برتری است. همچنین طلا به صورت آزاد در این سیستم مشاهده نمی شود بلکه در ساختار کانی هایی مانند پیریت و کالکوپیریت به صورت نامنی تشکیل شده است. مطالعات نشان می دهد این رگه های کانه دار در سه مرحله، به ترتیب زیر به وجود آمده اند:

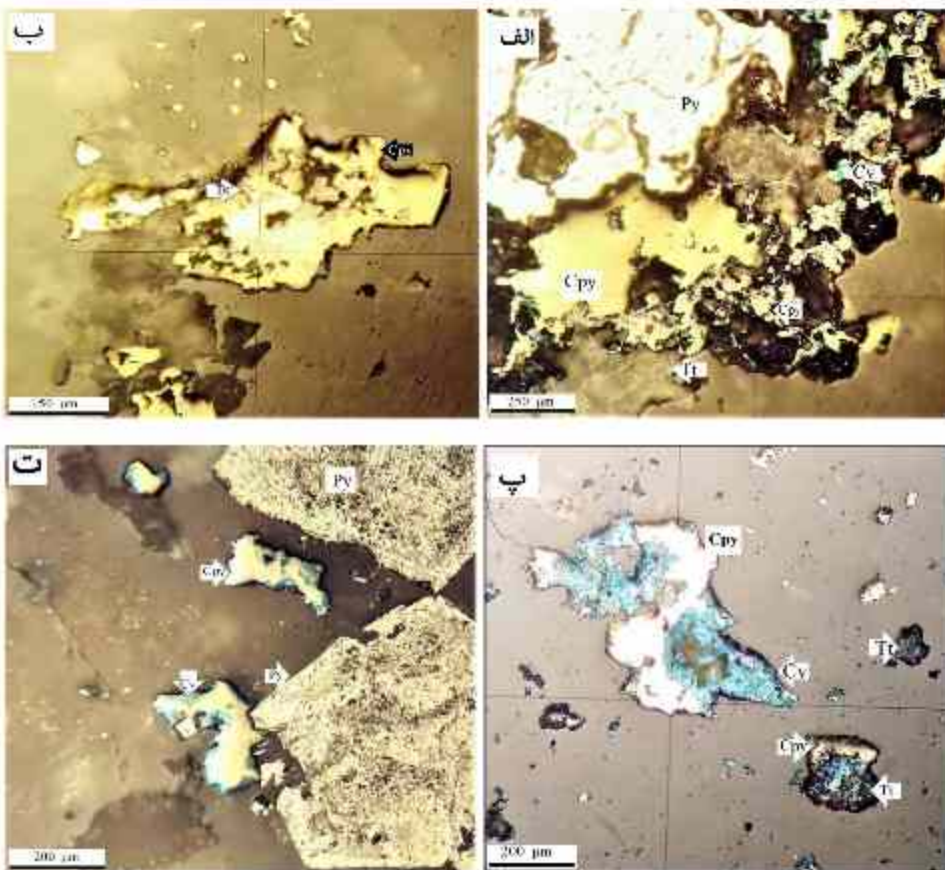
کانه های هیپوزن

پیریت (FeS_2): کانی پیریت قراوتین کانی سولفیدی در این زون می باشد که به شکل بلورهای یوهدرال مکعبی و ساپهدرال و غالباً به صورت درشت و پراکنده (شکل 5-الف، ب، پ و ت) در رگه- رگچه های سیلیسی، دگرسانی فیلیک و آرژیلیک مشاهده می شود. این کانی در رگه- رگچه ها به صورت ریز و رگه ای و در داخل قطعات برتری شده به صورت درشت و شکل دار و جانشین شده بجای کانی های تسته شده دیده می شود. این کانی بعضاً از حوتی و شکستگی ها توسط کالکوپیریت جانشین شده است (شکل 5-ت). پیریت در نمونه های سطحی و سوپرژن به اکسیدهای آهن دگرسان شده است.

کالکوپیریت ($CuFeS_2$): کانی کالکوپیریت از تاخضورین کانی های سولفیدی می باشد و همراه با پیریت و بورنیت در زون سیلیسی- برتری حضور دارد. کالکوپیریت بعضاً از نواحی متخلخل جانشین پیریت شده است و در برخی نمونه ها ادخال هایی از پیریت درون کالکوپیریت قابل مشاهده است. در بعضی موارد نیز، بورنیت یا تراهدریت را از شکستگی ها جانشین کالکوپیریت شده است. در اثر قرایندهای سوپرژن از سمت حواتی به کوولیت، کالکوپیریت و آزوئیت و مالاکیت دگرسان شده است (شکل 5-الف، ب، پ و ت).

بورنیت (Cu_5FeS_4) از جمله کانی های سولفیدی هیپوزن در این زون می باشد که در نسل اول با کالکوپیریت هم رتندی نشان می دهد ولی در مرحله سوپرژن جانشین کالکوپیریت شده است (شکل 5-پ).

تراهدریت ($Cu_{12}Sb_4S_{13}$) : یکی از کانی های سولفیدی است که بطور جزئی در رگچه های سولفیدی تبره رنگ مشاهده می شود و ارتباط نزدیکی با کالکوپیریت دارد و ممکن است از حوتی جایگزین کالکوپیریت شده باشد (شکل 5-الف و ت). این کانی توسط قرایندهای سوپرژن به کوولیت، کالکوپیریت و مالاکیت دگرسان شده است.

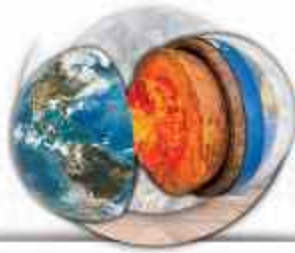


شکل ۵- تصاویر میکروسکوپی کانه‌ها. (الف) کانه‌های پیریت، کالکوپیریت، کوولیت و تراهدنیت. (ب) کانه‌های بورنیت و کالکوپیریت در زون کانی زلی هیپرزن. (پ) کانه‌های کالکوپیریت و تراهدنیت در حال تبدیل به کوولیت. (ت) تبدیل کانه‌های هیپرزن پیریت و کالکوپیریت به کانه‌های سوپرزن. Py: پیریت; Cpy: کالکوپیریت; Cv: کوولیت; Cc: کالکوپیریت; Tt: تراهدنیت; Dg: دیزنت; Br: بورنیت; Hem: همانیت.

کانه‌های سوپرزن:

قرآیندهای سوپرزن در دو محیط احیا و اکسیدان رخ می‌دهد و طی این فرآیندها، نفوذ می‌الات با منشاً جوی به زون‌های قوقانی کاناره سبب دگرسانی سوپرزن می‌شود. زون اکسیدان سوپرزن دارای کربنات‌های مس، اکسیدها و هیدروکسیدهای آهن مانند همانیت، گوتیت و جاروسیت است. اما زون احیا در سوپرزن دارای سولفیدهای ثانویه مس از قبیل کوولیت، کالکوپیریت و دیزنت می‌باشد که درنتیجه دگرسانی از سولفیدهای اولیه مس حاصل بوجود آمدند.

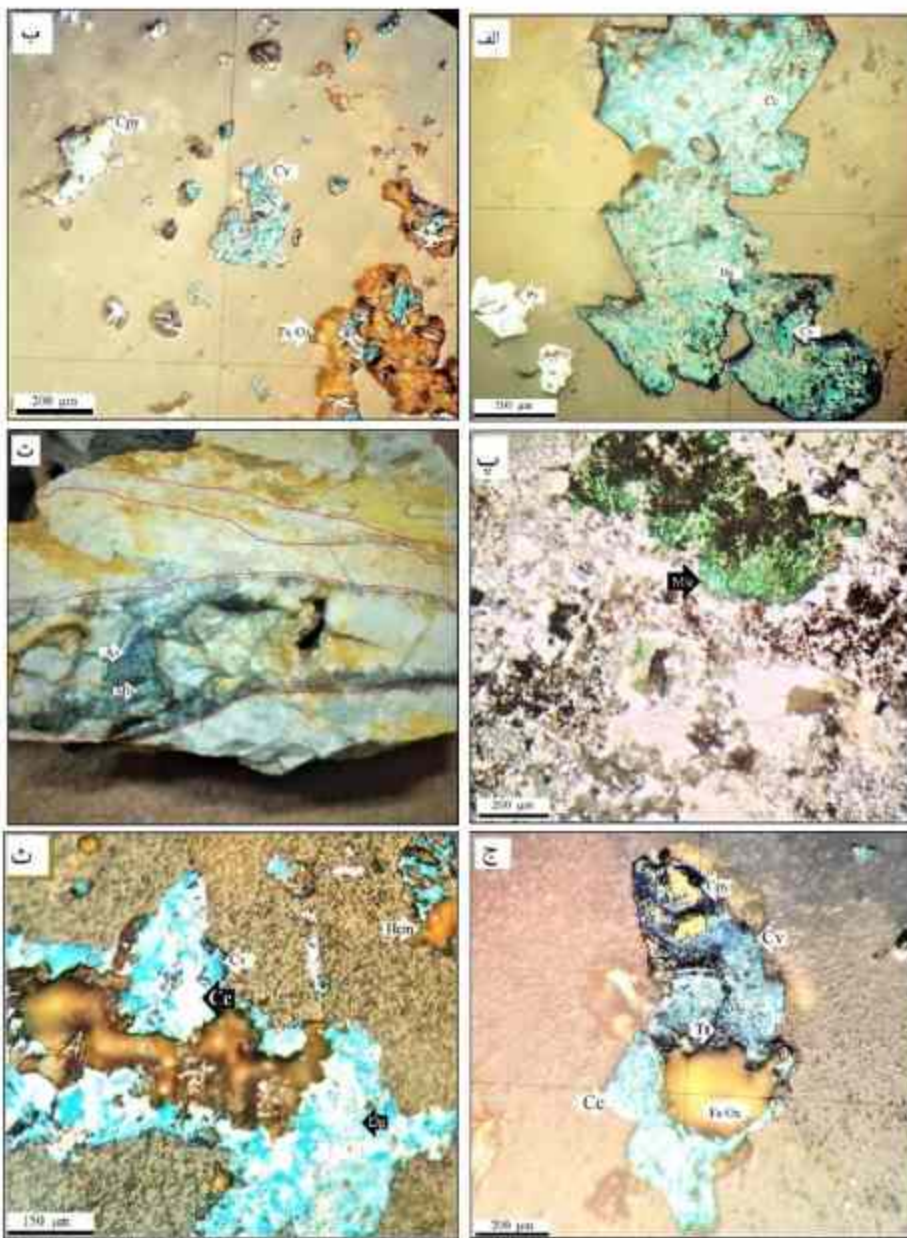
کوولیت (CuS), کالکوپیریت (Cu_2S) و دیزنت (Cu_9S_5): این کانه‌های سولفیدی ثانویه تحت تأثیر دگرسانی سوپرزن کانه‌های سولفیدی هیپرزن مانند کالکوپیریت، بورنیت و سولفوسالتها در زون احیا بوجود آمدند و غالباً از حواتی و تکستنگی‌ها جانشین این کانه‌ها شده‌اند (شکل ۶- الف و ب). مالاکیت ($Cu_2CO_3(OH)_2$ ، آزوریت ($Cu_3(CO_3)_2(OH)_2$): این کانه‌ها از جمله کانه‌های ثانویه می‌باشند که در رگه- ریچه‌های دارای



سولفید مس، در سطح برونزها و در درز و تکستگی‌ها یافت می‌شوند. مالاکیت و آزوئیت در زون اکسیدان به صورت نقطه‌ای با غالبیت مالاکیت دیده می‌شوند. این کانه‌ها در اثر خنثی تدن محلول‌های اسیدی پایین رونده مس دار حاصل از اکسیداسیون سولفیدهای مس دار هیپوژن، در برخورد با کربنات موجود در مسیر تشکیل شده‌اند (کل ۶-پ و ت). جاروسیت ($KFe^{3+}(OH)_2(SO_4)_3$): این کانی در مقایسه با دیگر کانی‌های سوپرژن از فراوانی بیشتری برخوردار است و غالباً درون حفرات و تکستگی‌های کوارتز همراه با هماتیت و گوتیت تشکیل شده است. پتانسیم لازم جهت تشکیل جاروسیت از طریق دگرسانی سوپرژن سیستم، و گوگرد و آهن آن نیز از دگرسانی پیریت و کالکوپیریت تأمین شده است. اکسیدها و هیدروکسیدهای آهن با انواع این کانی‌ها، دو کانی گوتیت ($FeOOH$) و هماتیت (Fe_2O_3) حضور بیشتری در زون کانی‌سازی شده دارند که حاصل شست و تو و اکسیداسیون کانی‌های سولفیدی آهن دار اولیه مانند پیریت و کالکوپیریت می‌باشد (شکل ۶-ث و ج).

توالی پاراژنوزی

بر اساس مطالعات کانی‌شناسی شامل دو مرحله هیپوژن و ثابویه یا سوپرژن می‌باشد (شکل ۷). مرحله هیپوژن خود به ۳ مرحله کانی‌زایی تقسیم می‌شود که بیشترین کانی‌زایی و مرحله اصلی آن را شامل می‌گردد و کانی‌های کالکوپیریت، پیریت، تتراهردیت، بورنیت و احتمالاً طلامریوط به مرحله اول کانی‌زایی است. کانی‌های کوارتز و پیریت در تمامی مراحل بخش هیپوژن تشکیل شده اند لاما سایر کانی‌های این زون محدود به مرحله دوم زون هیپوژن می‌باشند. پیریت در تمامی مراحل کانی‌سازی هیپوژن به صورت نابرجا و پراکنده در متن سنگ و هم در رگچه‌های سیلیسی حضور دارد. کالکوپیریت، بورنیت، تتراهردیت و احتمالاً طلامریوط کانه‌های هیپوژن موجود در رگچه‌های دارای کانی‌سازی می‌باشد. بورنیت که فراوانی محدودی نسبت به سایر کانه‌های منطقه دارد، عمدتاً در تکستگی‌های موجود در کالکوپیریت را پر کرده است و گام‌آغاز سمت حرارتی آن را جاشین کرده است. تتراهردیت و کالکوپیریت هم یافته نشان می‌دهد و طلای نیز احتمالاً بصورت ادخال‌هایی جزئی و ریز در داخل سولفیدها دیده می‌شود. بعد از اتمام قعالیت‌های هیدروترمالی و ظاهر تدن زون‌های کانی‌سازی شده هیپوژن در نزدیکی سطح زمین و بالای سطح ایستابی، کانی‌های تشکیل یافته تحت تأثیر عوامل سوپرژن قرار گرفته و به کانی‌های اکسیدی، هیدروکسیدی و کربناته تبدیل شده‌اند. کانی‌هایی که در مرحله سوپرژن تشکیل یافته‌اند شامل کوولیت، کالکوپیریت، هماتیت، آزوئیت و جاروسیت می‌باشند. گوتیت بر اثر اکسیداسیون کانی‌های سولفیدی اولیه مانند پیریت تشکیل شده و همراه با هماتیت و جاروسیت در سطوح هوازده و تکستگی‌ها دیده می‌شود. کوولیت و کالکوپیریت معمولاً به صورت جاشینی در جاشینه‌ها و تکستگی‌های کالکوپیریت تشکیل شده‌اند. کانی‌های گوتیت، هماتیت، جاروسیت، مالاکیت و آزوئیت در سطح رخمنون‌ها و سطح درز و تکستگی‌ها مشاهده می‌شوند.



شکل 6- تصاویر میکروسکوپی کانه‌ها (الف) و (ب) تشکیل کانی‌های کوولیت، کالکوسیت و اکسید آهن در کانی نی سوبرزن. (ب) کانی‌های کالکوسیت و اکسید آهن در اطراف کانی کالکوپیریت. (پ) کانی مالاکیت تشکیل شده در شکستگی‌ها و خفرات. (ت) نمونه دستی از زون برشی و تشکیل مالاکیت در فقای شکستگی‌ها و (ج) تشکیل اکسیدهای آهن و کالکوسیت و دیزئیت بر روی کانی‌های هیبوژن کالکوپیریت و تراهدریت. Py : پیریت; Cpy : کالکوپیریت; Kw : کالکوسیت; Tt : تراهدریت; Dg : دیزئیت; Br : بورتیت; Hem : همانیت.



Minerals		→ Time →			Supergene alt.	
		Hypogene mineralization				
		Stage I	Stage II	Stage III		
Sulfides & Sulfosalts	Pyrite					
	Chalcopyrite					
	Bournite					
	Tetrahedrite					
	Covellite					
	Digenite					
	Calcoocite					
Oxides & Sulfates	Hematite					
	Jarosite					
	Goeithite					
Native Gold	Native Gold					
Silicates & Chlorophyllites	Quartz					
	Malachite & Azurite					

شکل 7- نوایی پارازیزی انواع کانی‌های تشکیل یافته در مراحل کانی‌زایی در منطقه مورد مطالعه ریحال

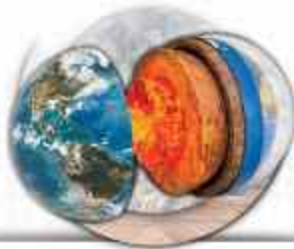
برداشت

1- مطالعات کانی‌شناسی شاندنه سیستم کانی‌زایی رگه‌ریجه‌ای در این منطقه می‌بایست. کانی‌زایی در منطقه به صورت رگه‌ریجه‌ای در داخل تکنگی‌ها و زون‌های گلی و به میزانی سنتگهای با ترکیب حدواتط و با سن اتوسن صورت گرفته است.

2- کانی‌سازی سولفیدی در دو مرحله هیپوزن و سوپرزن رخ داده است و پیریت مهمترین کانی سولفیدی هیپوزن در این مناطق است که به صورت تکلدار و ریجه‌ای مشاهده می‌شود و بیشترین ارتباط را با کانی‌زایی طلانشان می‌دهد. علاوه بر پیریت کانی‌هایی مانند کالکوپیریت، بورنیت و تترآهدربیت از سایر کانی‌های سولفیدی هیپوزن در منطقه مورد مطالعه می‌باشند و از مهم‌ترین کانی‌های سوپرزن این منطقه می‌توان کوولیت، کالکوسیت، مالاکیت، آزوریت و اکسیدها و هیدروکسیدهای آهن را نام برد.

3- شواهد باقی مانند برمی‌هیدروترمالی و کلیست تیفهای و بافت کلوفرم در این منطقه تایید کننده جوتش سیال می‌باشد. جوتش سیال مهم‌ترین عامل ته نشینی قللات در این منطقه بوده و سرد شدن سیال نیز در ته نشینی قللات موثر بوده است.

4- در مجموع شواهد باقی، کانی‌شناسی، آلتراسیون، سیالات درگیر (شوری پایین سیالات درگیر و رخداد جوتش به عنوان مهم‌ترین عامل ته نشینی قللات) و مشاً متشویک همگی دل بر کانی‌سازی ابی‌ترمال سولفید پایین در این منطقه می‌باشند.



منابع

- [1] Calagari, A. A., 2004a. Geology and fracture-related hypogene hydrothermal alteration and mineralization of porphyry copper deposit at Sungun, Iran. *Journal of Geological Society of India* 64, 595-618.
- [2] Alirezaei, S., Ebrahimi, S., Pan, Y., 2008. Fluid Inclusion Characteristics of Epithermal Precious Metal Deposits in the Arasbaran Metallogenic Zone, Northwestern Iran [extended abs.], ACROFI-II, India 1-4.
- [3] Hosseinzadeh, M. R., Maghfouri, S., Ghorbani, M. and Moayyed, M. (2016) Vein- Veinlets related with Mineralization and Fluid Inclusion Studies in the Sonajil Porphyry Cu- Mo Deposit, Arasbaran Magmatic Zone. *Scientific Quarterly Journal of Geoscience* 26(101): 219- 231.
- [4] Zarnab Company., 2007. Geology and Alteration Studies of the Haftcheshmeh Area (National Iranian Copper Industries Company (NICICO)).
- [5] Mohammadi, M., and Borna, B., 2006. Report of Geology and drilling in the masjed daghi Area (National Iranian Copper Industries Company (NICICO)).
- [6] Simmonds, V., Calagari, A. A. and Kyser, K. (2015) Fluid inclusion and stable isotope studies of the Kighal porphyry Cu-Mo prospect, East- Azarbaijan, NW Iran. *Arabian Journal of Geosciences* 8: 437- 453.
- [7] Ebrahimi, S., Alirezaei, S., Pan, Y., 2011. Geological setting, alteration and fluid inclusion characteristics of Zaglic and Safikhanloo epithermal gold prospects, NW Iran. *Geological Society, London, Special publications* 350(1), 133- 147.
- [8] Nakhjavani, B. and Alavi, S. G. (2018) Type of mineralization, Geochemistry of Alteration and Relation of Gold and associated elements in the Hizeh-jan area (NW Iran). *Iranian Journal of Crystallography and Mineralogy* 26(3): 673- 688
- [9] Mahdavi M.A., Aminifazl A., "Ahar 1:100000 Geologic map", Geological Survey and Mineral Exploration of Iran(1988).
- [10] Guibert, J. M., Park, Jr. C. F., 1986. *The Geology of Ore Deposits*. Freaman and Company, New York.
- [11] Robb, L., 2005. *Introduction to Ore-forming Processes*. Blackwell Publishing, Malden, 373 p.
- [12] Sillitoe R. H., 2000. Gold-rich porphyry deposits: Descriptive and genetic models and their role in exploration and discovery, *SEG Reviews* 13, 315-345.
- [13] Seedorff, E., Dilles, J.H., Proffett, J. M., Einaudi, M.T., Zurcher, L., Stavast, W.J.A., Johnson, D.A., Barton, M.D., 2005. Porphyry deposits: Characteristics and origin of hypogene features. *Economic Geology*, 100th Anniversary Volume, 251-298.
- [14] Investigation of genesis and fluid origin in Noghduz gold bearing quartz veins, East Azarbaijan Province, northwest of Iran. *Iranian Journal of Crystallography and Mineralogy*. 27
- [15] Reyes, A. G., 1990. Petrology of Philippine geothermal systems and the application of alteration mineralogy to their assessment. *Journal of Volcanology and Geothermal Research*, 43(1), 279-309.